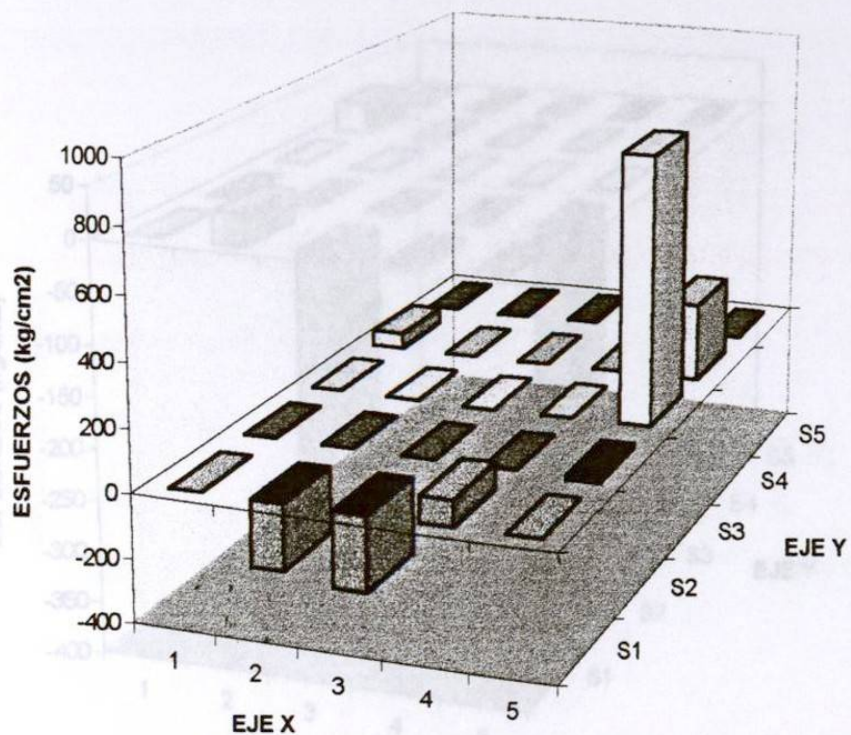
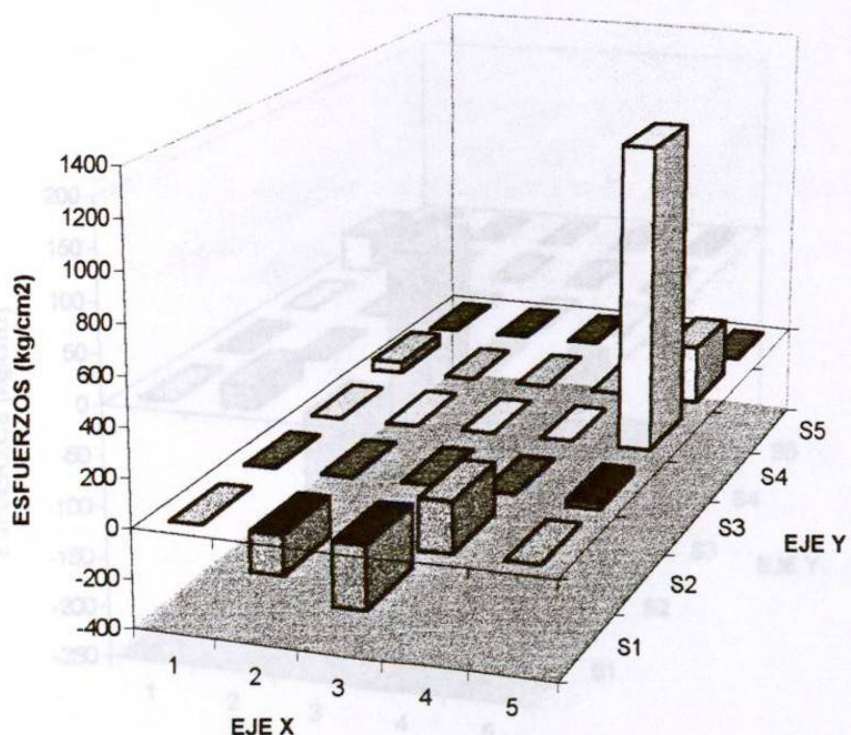


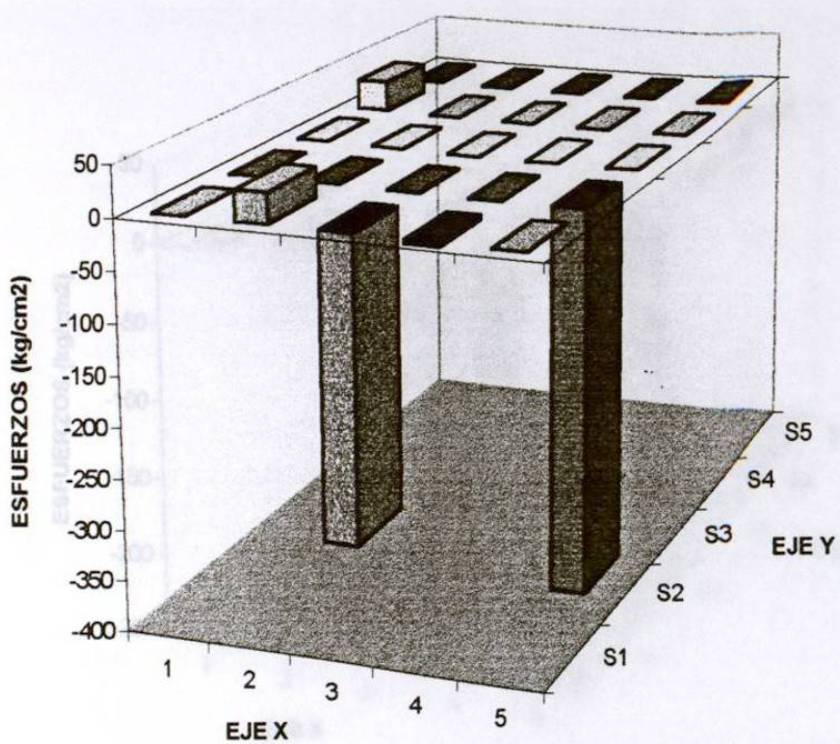
**GRAFICA DE ESFUERZOS (kg/cm<sup>2</sup>) para Px=40 ton. ,  
Mx=8.442 ton.-m , My=1.914 ton.-m**



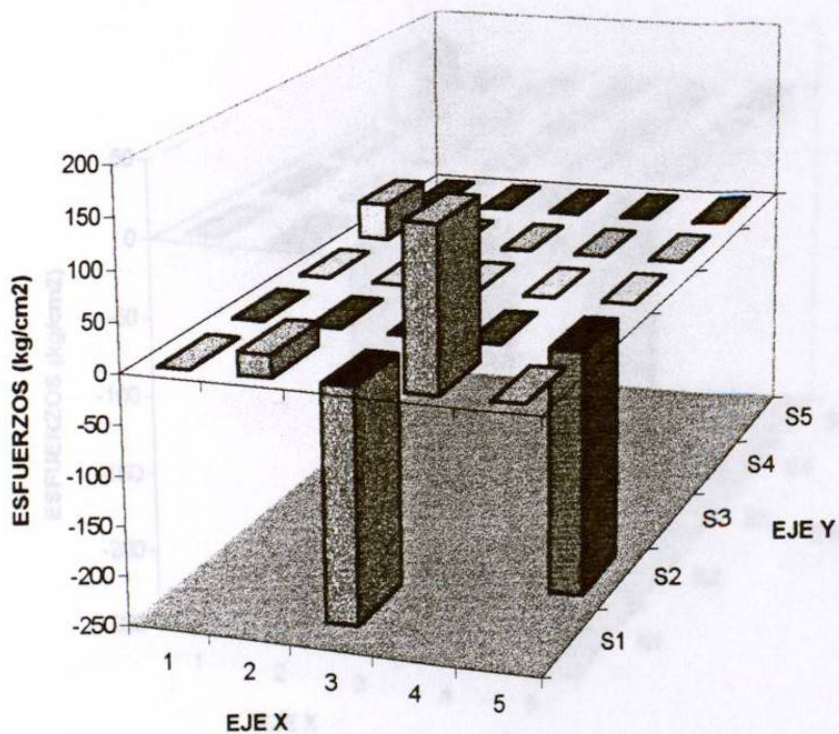
**GRAFICA DE ESFUERZOS (kg/cm<sup>2</sup>) para Px=50 ton. ,  
Mx=7.911 ton.-m , My=1.702 ton.-m**



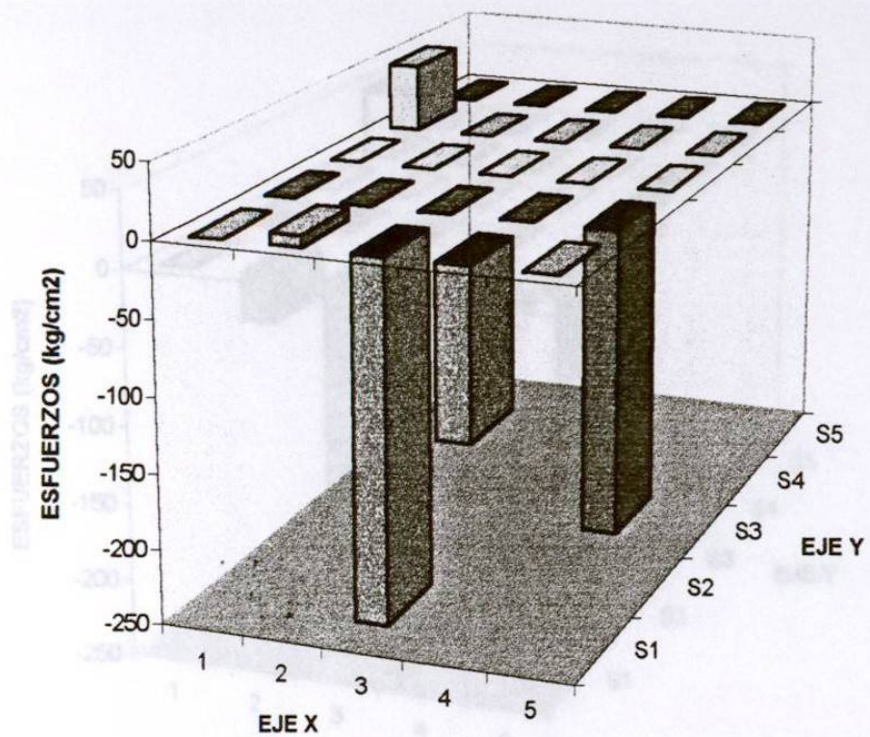
**GRAFICA DE ESFUERZOS (kg/cm<sup>2</sup>) para Px=48 ton.,  
Mx=3.885 ton.-m , My=0.835 ton.-m**



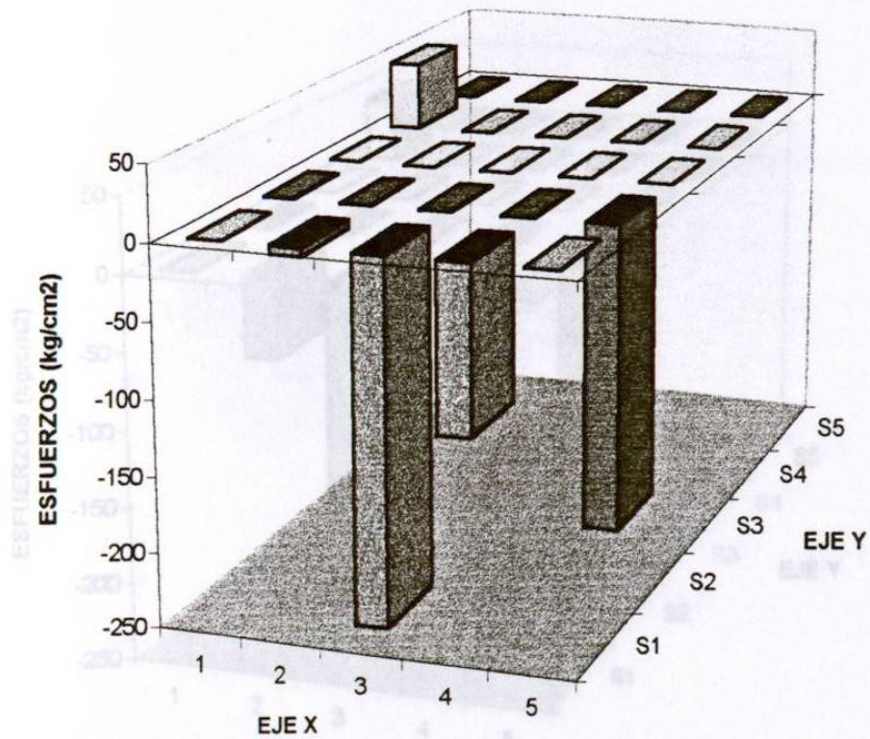
**GRAFICA DE ESFUERZOS (kg/cm<sup>2</sup>) para Px=10 ton.,  
Mx=12.091 ton.-m , My=0.585 ton.-m**



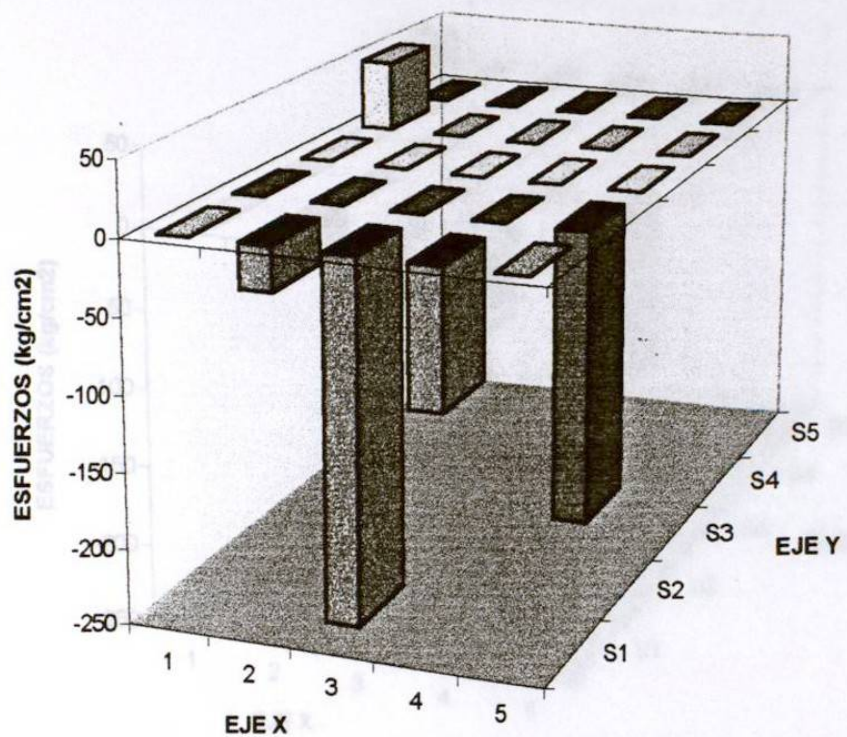
**GRAFICA DE ESFUERZOS (kg/cm<sup>2</sup>) para Px=20 ton.,  
Mx=10.714 ton.-m , My=0.497 ton.-m**



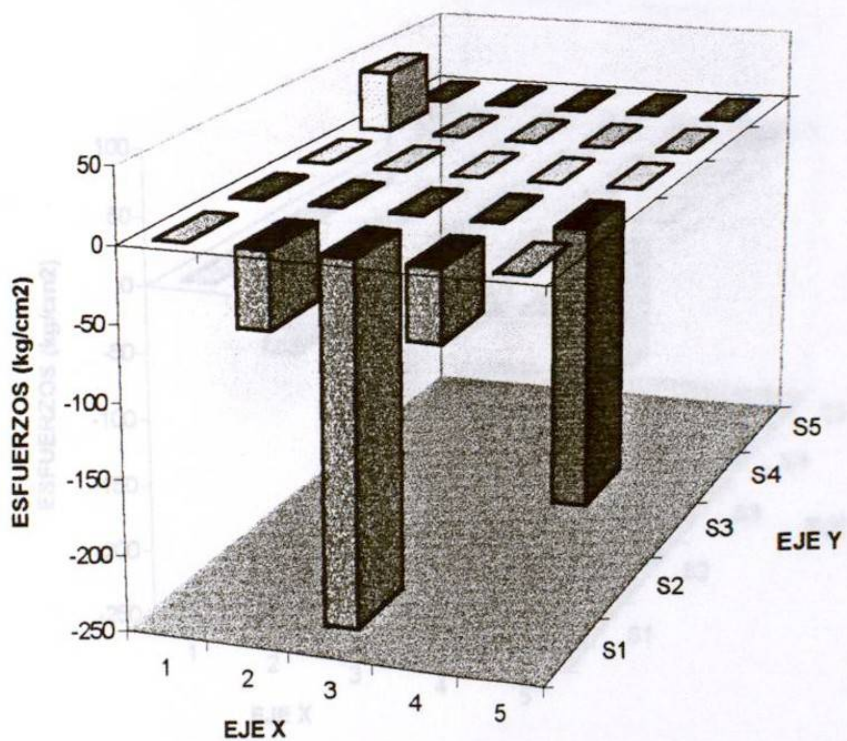
**GRAFICA DE ESFUERZOS (kg/cm<sup>2</sup>) para Px=30 ton.,  
Mx=10.439 ton.-m , My=0.454 ton.-m**



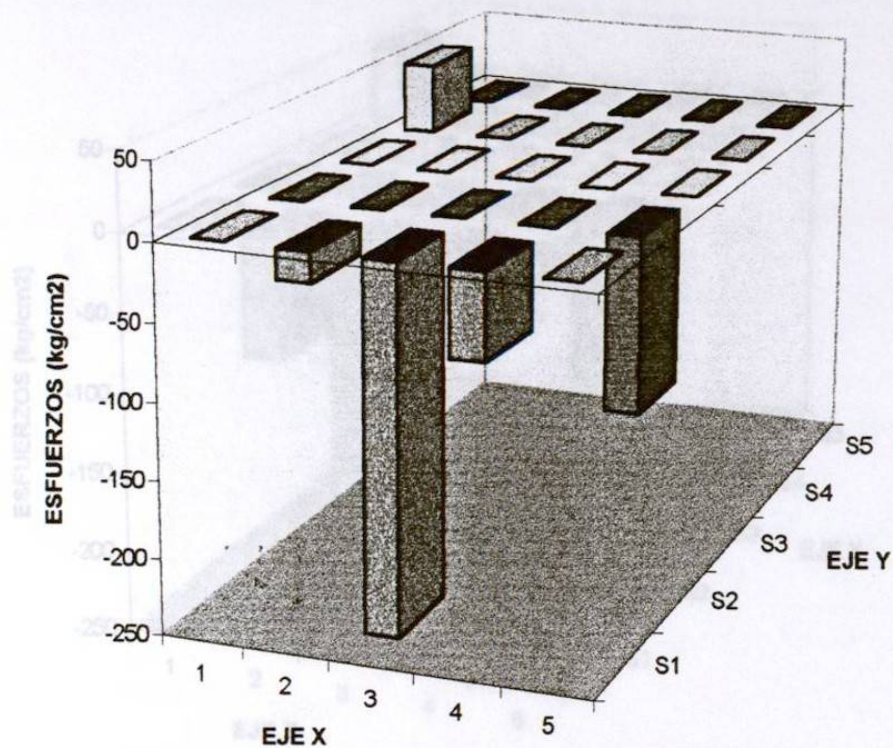
**GRAFICA DE ESFUERZOS (kg/cm<sup>2</sup>) para Px=40 ton. ,  
Mx=9.358 ton.-m , My=0.411 ton.-m**



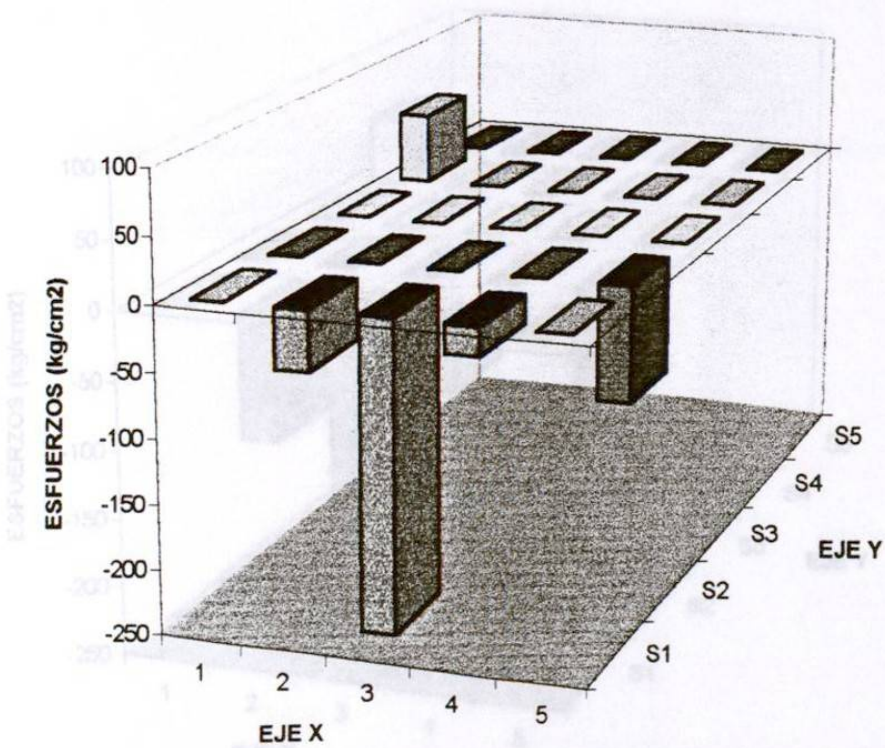
**GRAFICA DE ESFUERZOS (kg/cm<sup>2</sup>) para Px=50 ton. ,  
Mx=7.681 ton.-m , My=0.293 ton.-m**



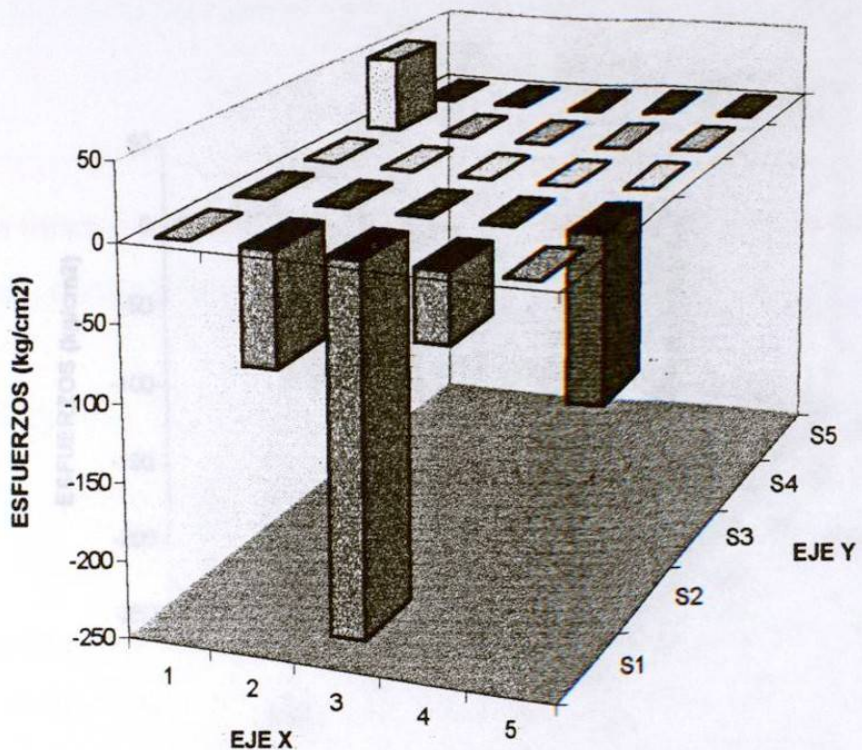
**GRAFICA DE ESFUERZOS (kg/cm<sup>2</sup>) para Px=0 ton.,  
Mx=8.603 ton.-m , My=0.956 ton.-m**



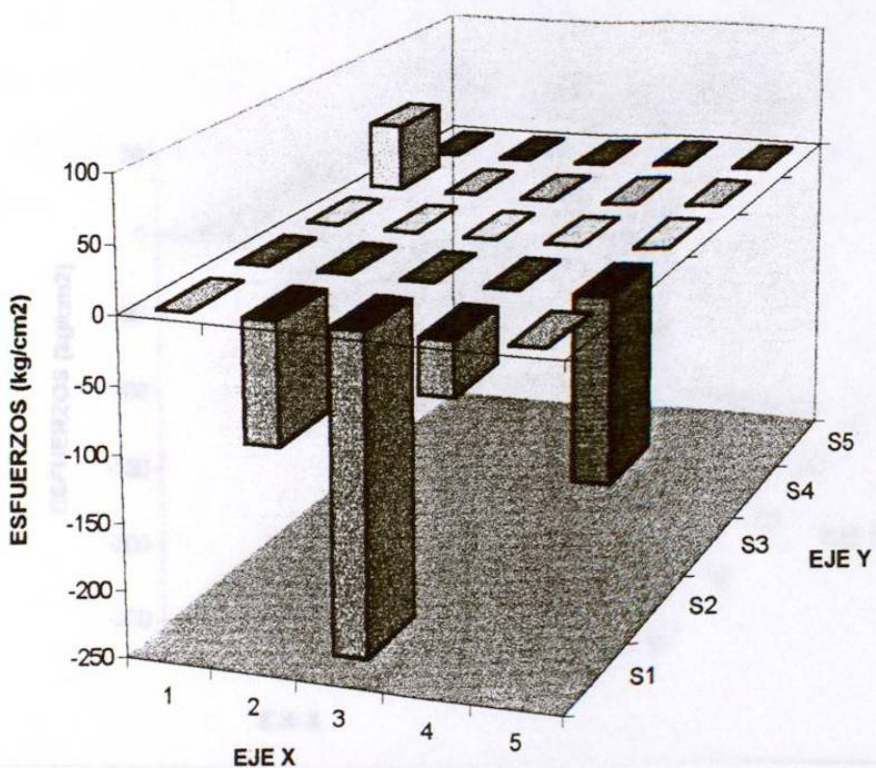
**GRAFICA DE ESFUERZOS (kg/cm<sup>2</sup>) para Px=10 ton.,  
Mx=7.982 ton.-m , My=0.829 ton.-m**



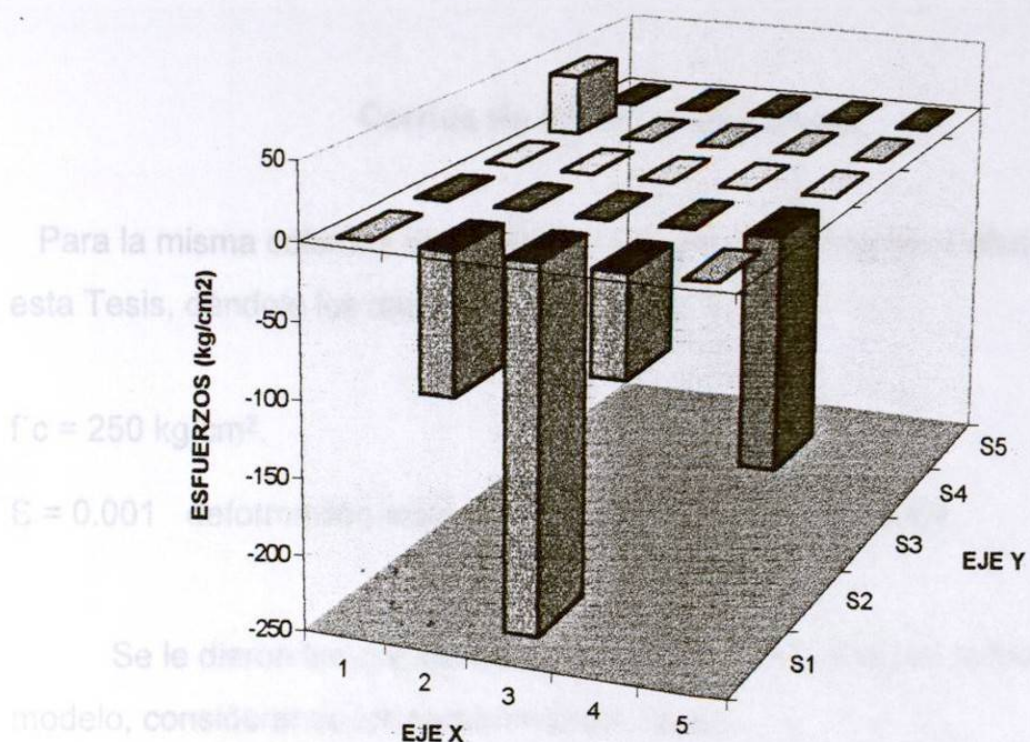
**GRAFICA DE ESFUERZOS (kg/cm<sup>2</sup>) para Px=20 ton. ,  
Mx=8,366 ton.-m , My=0.921 ton.-m**



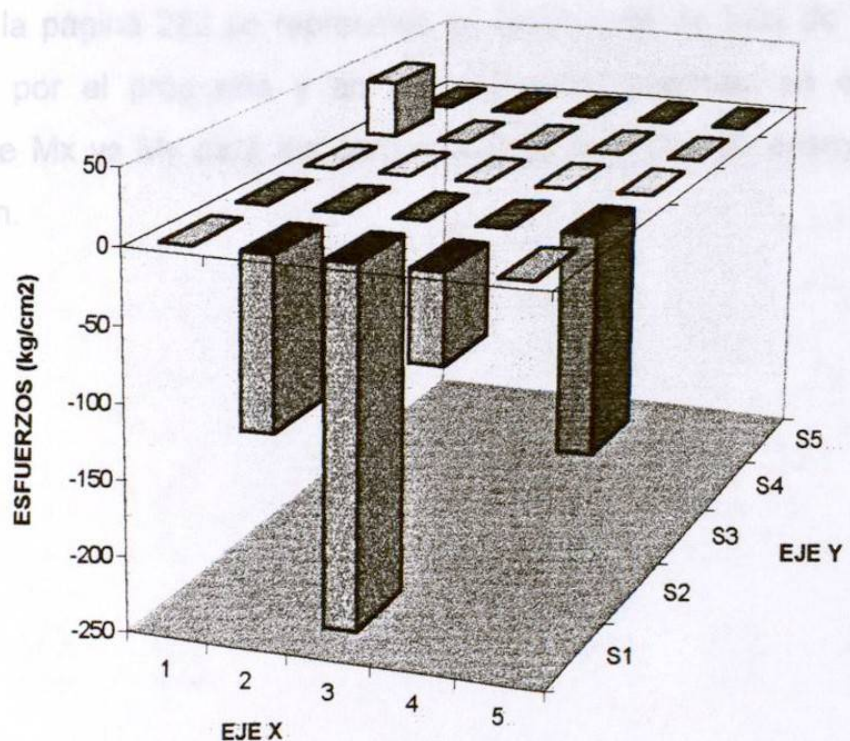
**GRAFICA DE ESFUERZOS (kg/cm<sup>2</sup>) para Px=30 ton. ,  
Mx=7.354 ton.-m , My=0.765 ton.-m**



**GRAFICA DE ESFUERZOS (kg/cm<sup>2</sup>) para Px=40 ton.,  
Mx=7.559 ton.-m , My=0.773 ton.-m**



**GRAFICA DE ESFUERZOS (kg/cm<sup>2</sup>) para Px=50 ton.,  
Mx=7 ton.-m , My=0.741 ton.-m**



### **Corrida de Columna de Ensaye.**

Para la misma columna del ensaye, se corrió en el programa diseñado en esta Tesis, dándole los datos de laboratorio:

$$f'c = 250 \text{ kg/cm}^2.$$

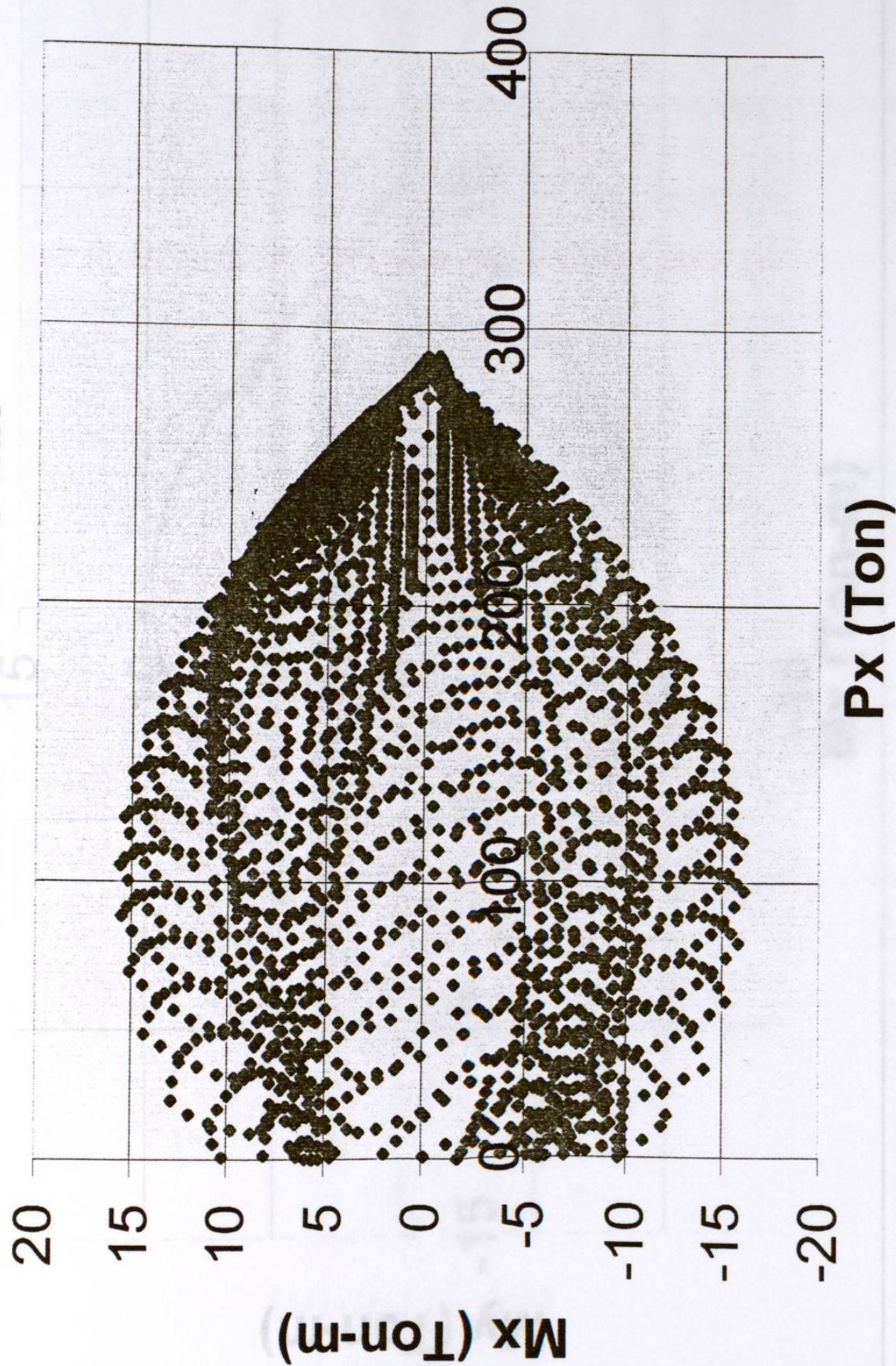
$$\epsilon = 0.001 \text{ deformación máxima que se permitió en el ensaye.}$$

Se le dieron las coordenadas del acero de refuerzo, tal como quedó en el modelo, considerando los recubrimientos reales.

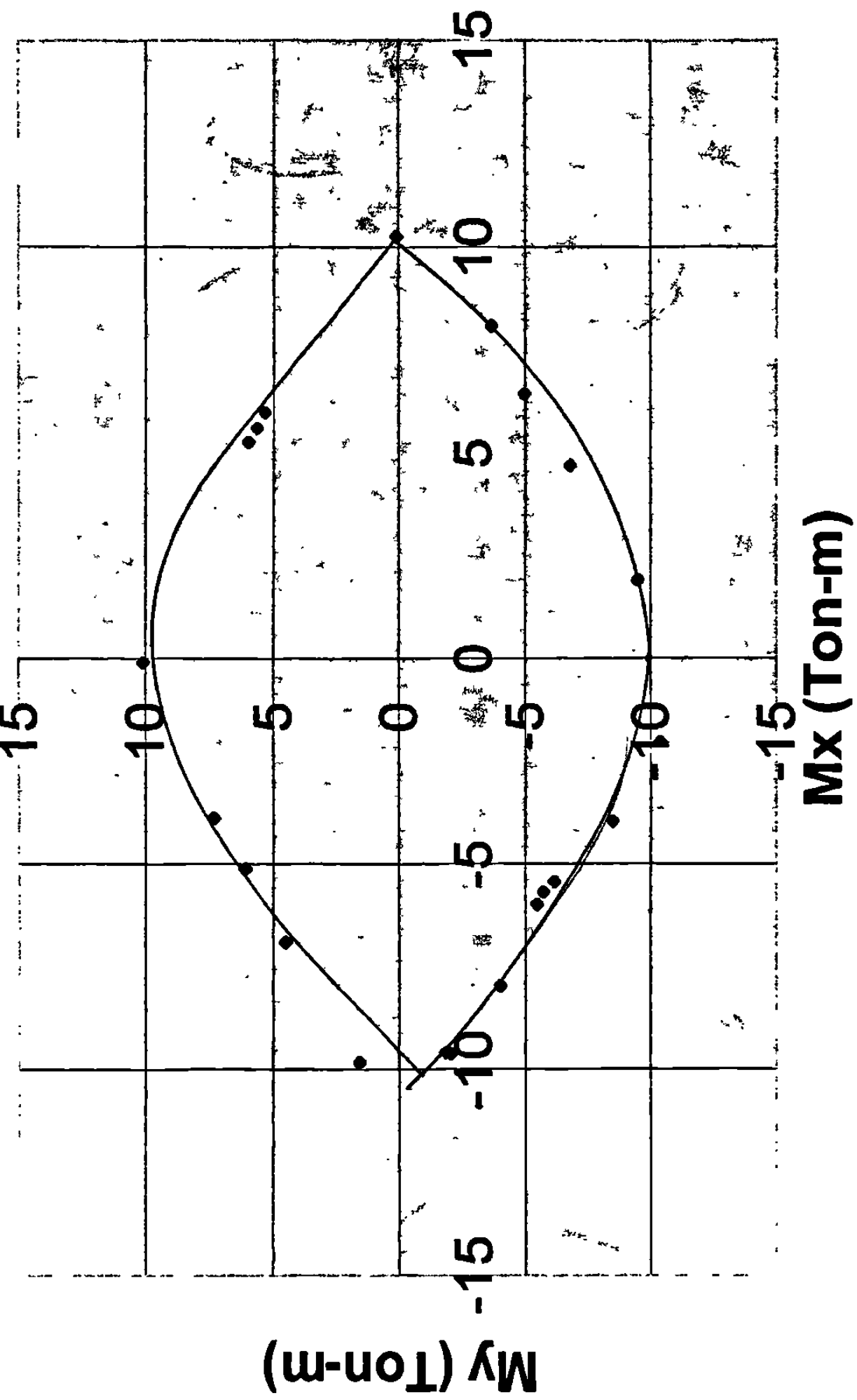
El módulo de elasticidad utilizado fue el proporcionado por el ensaye.

En la página 222 se representa la envolvente de falla de esta columna reportada por el programa y en las siguientes páginas, se obtuvieron las gráficas de  $M_x$  vs  $M_y$  para las cargas axiales con que se ensayó la columna espécimen.

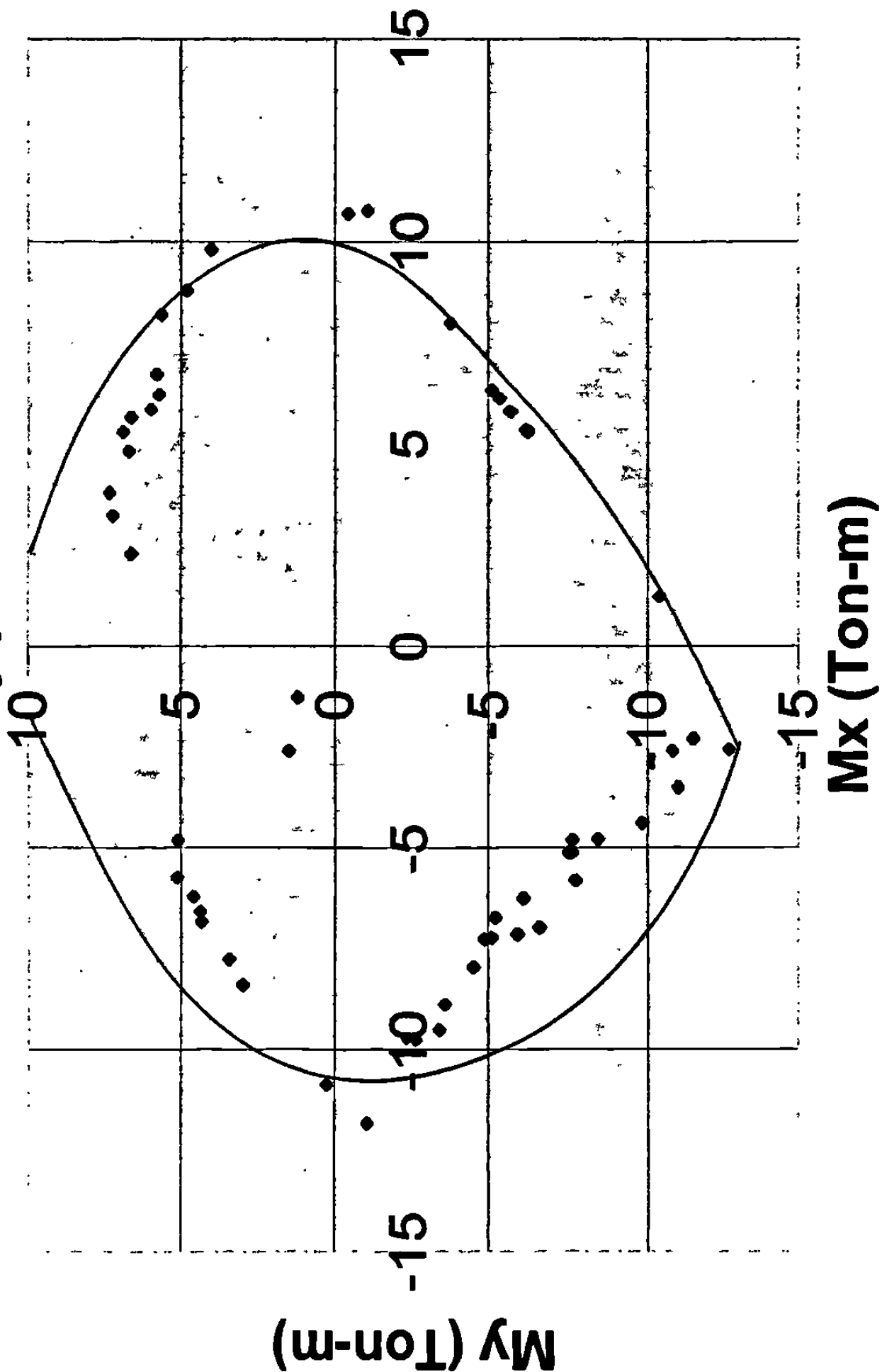
## Gráfica de $P_x$ vs $M_x$



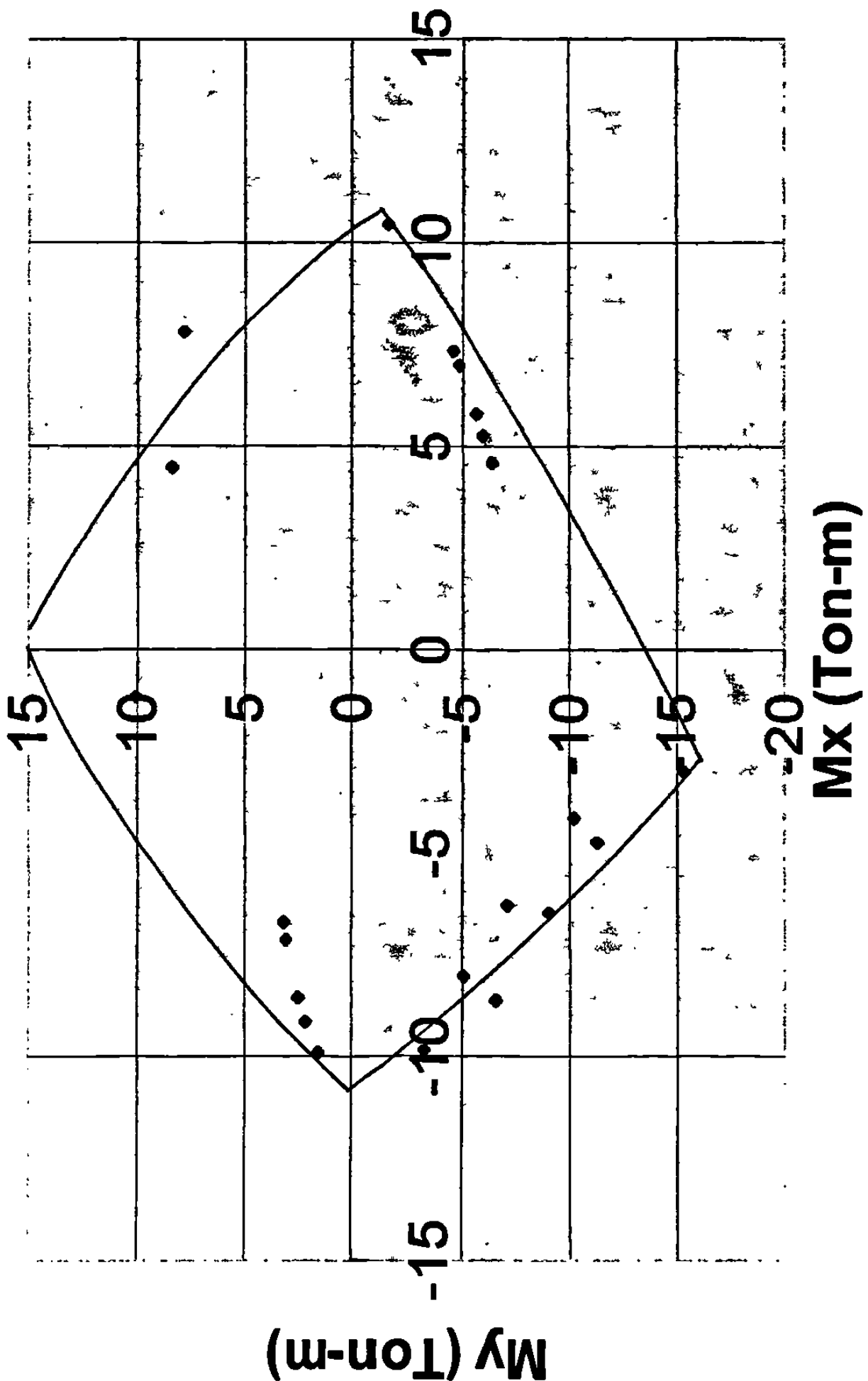
**Gráfica de  $M_x$  vs  $M_y$  para  $P_x=0$  ton**



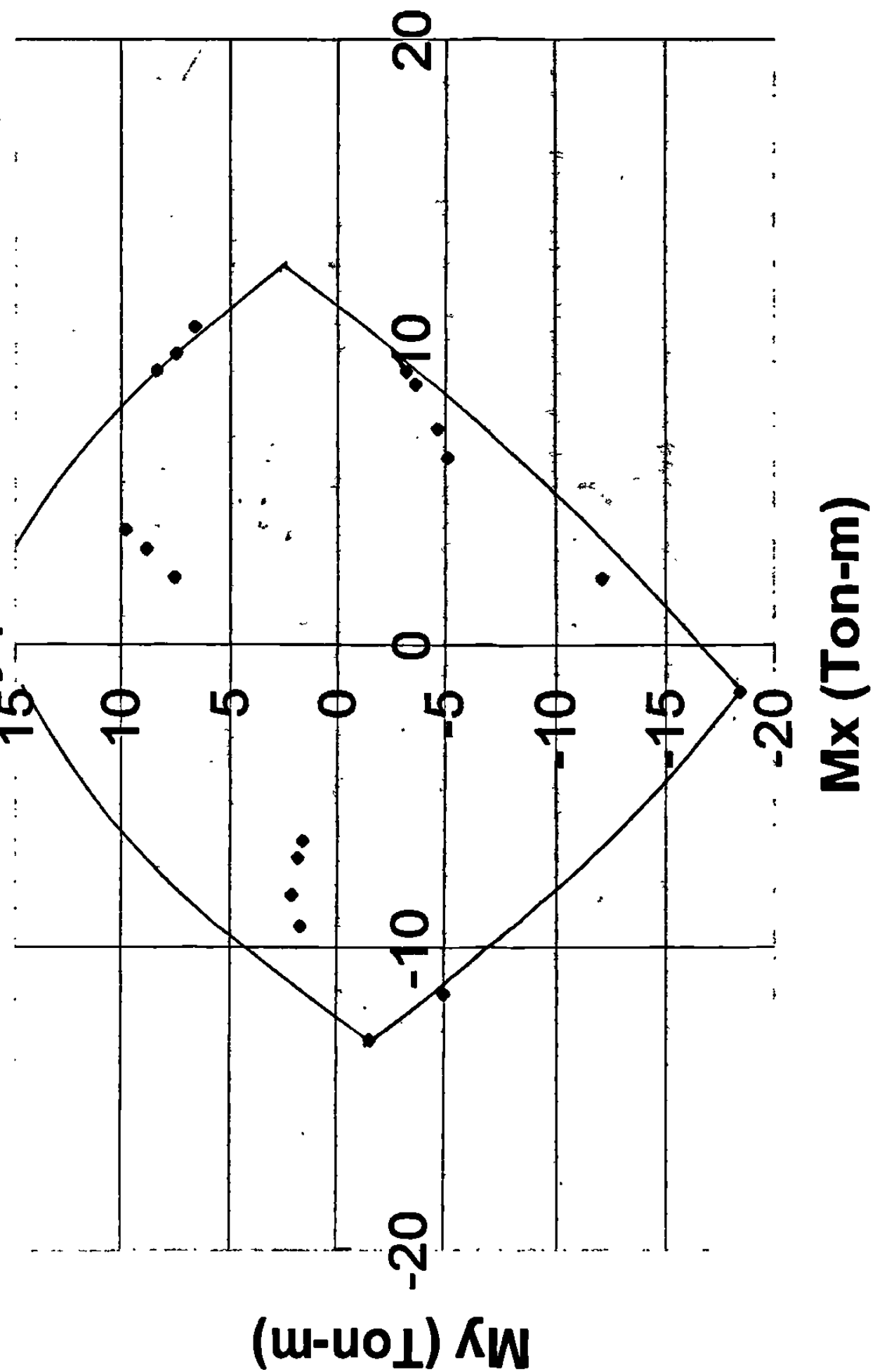
**Gráfica de  $M_x$  vs  $M_y$  pata  $P_x = 10$  Ton.**



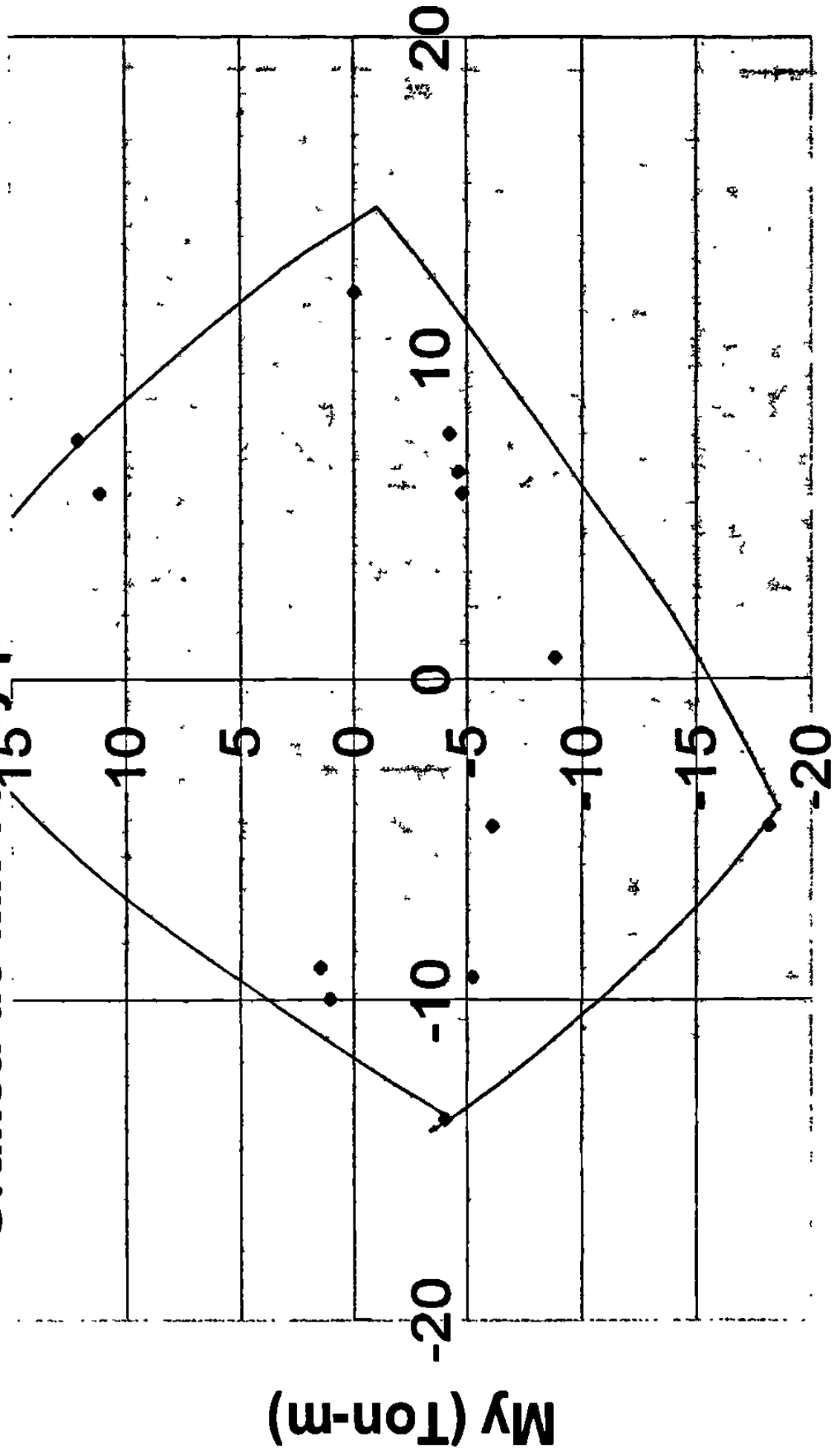
**Gráfica de  $M_x$  vs  $M_y$  para  $P_x=20$  Ton.**



**Gráfica de  $M_x$  vs  $M_y$  para  $P_x = 30$  Ton.**

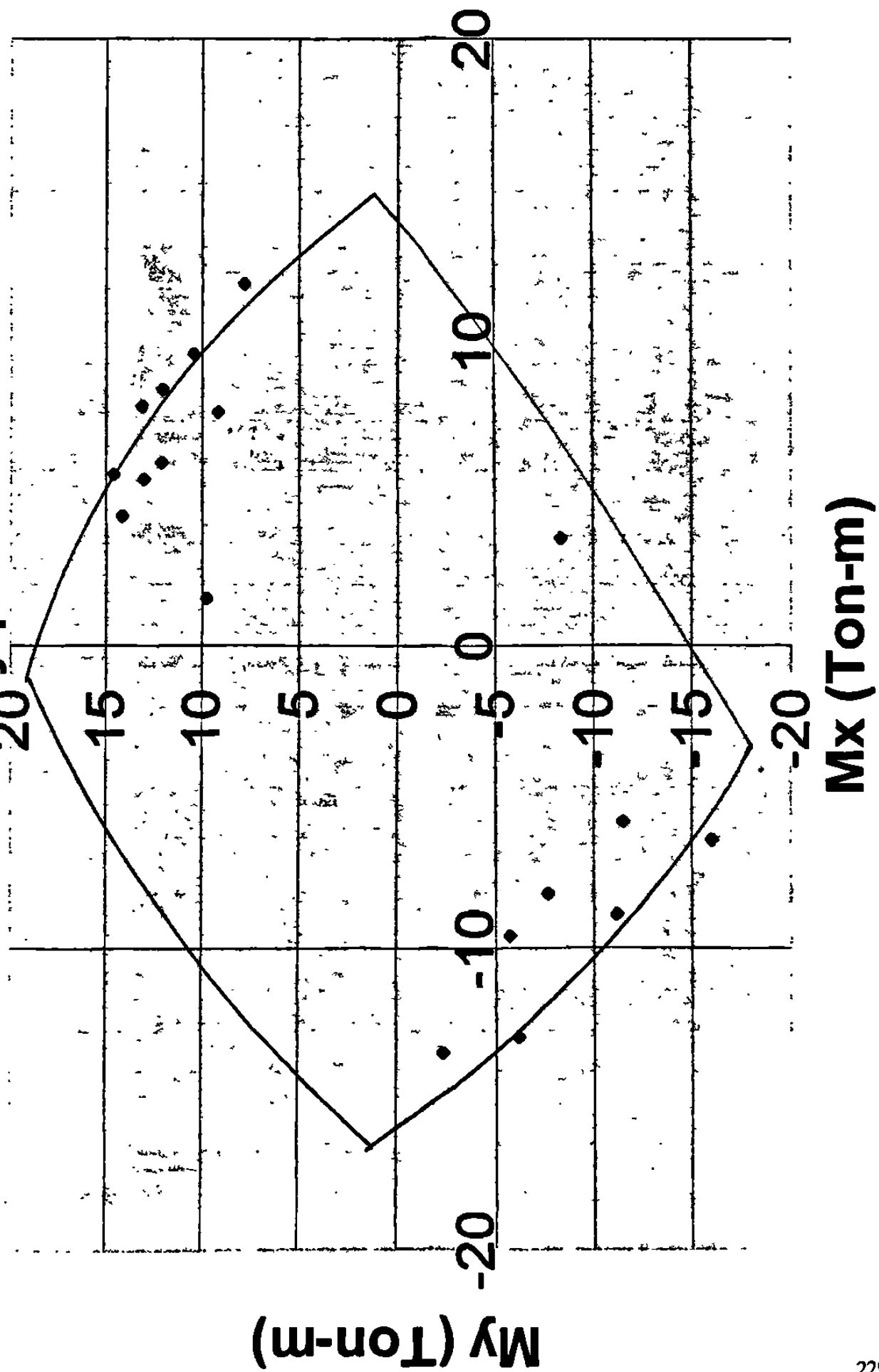


**Gráfica de  $M_x$  vs  $M_y$  para  $P_x = 40$  Ton.**



**$M_x$  (Ton-m)**

**Gráfica de  $M_x$  vs  $M_y$  para  $P_x = 50$  Ton.**



## **CAPITULO 9**

### **CONCLUSIONES.**

**Se estableció un algoritmo de uso general que permite obtener la resistencia última de columnas de cualquier sección transversal sujetas a carga axial y flexión biaxial. Hasta ahora, la literatura estructural de este tema solo incluye soluciones de ciertas formas de sección transversales como las cuadradas, rectangulares y circulares.**

**Se proporcionó el diagrama de flujo, con el fin de poder escribir la lógica en cualquier lenguaje, en este trabajo se escribió en "Basic". Es muy conveniente conjuntar las disciplinas de la Ingeniería Estructural y la de Ingeniería en Sistemas para lograr un avance mas pleno.**

**Con el fin de validar los resultados de este análisis se solucionaron seis iteraciones con secciones diferentes en los cuales se previó alguna complicación especial para el programa, con la intención de fallarlo, lo cual no sucedió y condujo a resultados exactos. Los resultados obtenidos provienen del análisis matemático exacto y no contemplan ningún factor de reducción.**

**Se corrió el programa para dos secciones conocidas, una sección cuadrada y otra circular. Paralelamente se analizó utilizando los diagramas de interacción para momentos uniaxiales y el método aproximado de la carga inversa**

obteniendo resultados iguales en ambos casos adicionalmente; uno de éos casos se comparó con el programa de la PCA y no se encontró concordancia. El programa de PCA muestra resultados factorizados y para la comparativa fueron desfactorizados, resultando aún así conservadores.

En el ensaye de la columna a escala natural, los primeros resultados del ensaye coinciden con la corrida del programa, y las deformaciones reportadas en los strain gages coinciden de forma significativa con el análisis; el hecho de que después se alejen del comportamiento reportado por el modelo obedece a la degradación de la columna por el ciclo de carga y descarga a la que fué sometida, de hecho, a las curvas que representan este comportamiento se les denomina "Diagramas de Comportamiento Histerético", por lo tanto, para proseguir, esta investigación, se precisa de muchos más especímenes y ser utilizados en una o dos ocasiones. Esos especímenes se pueden aprovechar para otra investigación sobre comportamiento histerético de columnas sujetas a cargas y momentos cíclicos biaxiales.

En este trabajo, no se hizo mucho hincapié en el análisis de resultados debido a que el modelo durante el ensaye se presentaron algunos problemas que ahora nos sirven para dar algunas sugerencias para las siguientes etapas de este proyecto de investigación

- a) Se puede reducir la longitud del espécimen a un metro.
- b) Los brazos para la aplicación de los momentos flectores pueden ser de acero.
- c) Para lograr la transmisión del momento a la columna se sugiere una placa de acero soldando las varillas y rellenando con grout.
- d) El nivel de deformaciones unitarias máximo que sea de 0.001 ya que más adelante el nivel de agrietamientos es muy alto y daña los strain gages del concreto.

- e) Todas las grietas son paralelas entre si y perpendiculares a el eje axial, estas grietas en ocasiones están separadas mas de 10 cm, por lo cual se recomienda colocar los strain gages en varios niveles paralelos para evitar que todos se dañen al mismo tiempo al pasar una grieta en medio de ellos.
- f) La sección de la columna deberá de tener una sección más pequeña con el fin de llevarla hasta su carga máxima.
- g) Es muy conveniente contar con un equipo adecuado de adquisición de datos con capacidad para monitorear constantemente el comportamiento de los strain gages y no perder información valiosa.

# **APENDICE**

RESUMEN DE PROPORCIONES Y DETERMINACIONES DE CONCRETO SIN ADITIVO.  
 CONCRETO FABRICADO DEL 04 AL 08 DE SEPTIEMBRE DE 1995 ( 1<sup>a</sup> SEMANA ).  
 LOS MATERIALES ESTAN SECOS Y SE INCLUYE EL AGUA DE ABSORCION  
 CENIZA VOLANTE DE LA PLANTE CARBOELECTRICA DE RIO ESCONDIDO, AGREGADA EN ADICION AL CONSUMO DE CEMENTO.  
 RELACION A/CP = 0.36, PARA TODAS LAS BRIGADAS.

	BRIGADA 1	BRIGADA 2	BRIGADA 3	BRIGADA 4	BRIGADA 5
	PROPORCIONAMIENTO ( kg/m <sup>3</sup> )				
REACTION	140, 219.6	211.1	206.9	203.3	195.3
AGUA ABSORCION	15.4	14.9	14.6	14.3	13.7
CEMENTO PORTLAND I	34.5	399	384	376	369
CONSUMO CONSUMO	SIN	76.7	112.8	147.8	355
CENIZA PORCIENTO	SIN	20	30	40	177.5
AGREGADO GRUESO	1134	1090	1068	1049	50
AGREGADO FINO	628	604	592	582	1008
PROPIEDADES FISICAS DEL CONCRETO FRESCO					559
REL. A/CE EN PESO	0.55	0.46	0.43	0.40	0.37
AIRE ( % )	0.7	1.3	1.7	1.9	4.4
PESO VOL. TEORICO	2396	2239	2449	2442	2292
CONC. FRESCO ( kg/m <sup>3</sup> )					
PESO VOLUMETRICO	2410	2237	2367	2324	2382
CONC. FRESCO ( kg/m <sup>3</sup> )					
TEMP. CONCRETO FRESCO ( ° C )	32.0	33.5	35.0	37.0	38.0
REVENIMIENTO ( cm )	20.0	10.0	8.0	5.0	3.0
V <sub>e</sub> B <sub>e</sub> ( s )	no se tomó	no se tomó	3.60	7.80	8.80
CONDICIONES AMBIENTALES DEL CUARTO DE MEZCLADO					
TEMP. AMBIENTE ( ° C )	28.0	28.0	28.0	28.0	27.5
HUMEDAD RELATIVA ( % )	92	92	85	92	92

## BI-AXIAL BENDING

**Introduction.** Bi-axial bending of columns occurs when the column ing causes bending moment simultaneously about both principal axes. commonly encountered case of such loading is a corner column. The does not require that the moments resulting from use of the minimum eccentricity be considered simultaneously (ACI 10.11.7).

**Design for Bi-axial Bending Effects.** Round columns, even with minimum 4 bars, possess essentially polar symmetry; bi-axial moments simply be combined,  $M_s = \sqrt{(M_x)^2 + (M_y)^2}$ , with no further complication. For square and rectangular columns, the exact solution for bi-axial loading using only the design assumptions, page 2-3, is too complicated for routine design. The solution has been reduced to a minimum of very simple calculations with coefficients obtained from Figs. 2-13 and 2-14 following. These coefficients are applied to magnify the uniaxial applied design moments which load capacity can be read directly from tables in Chapter 3.

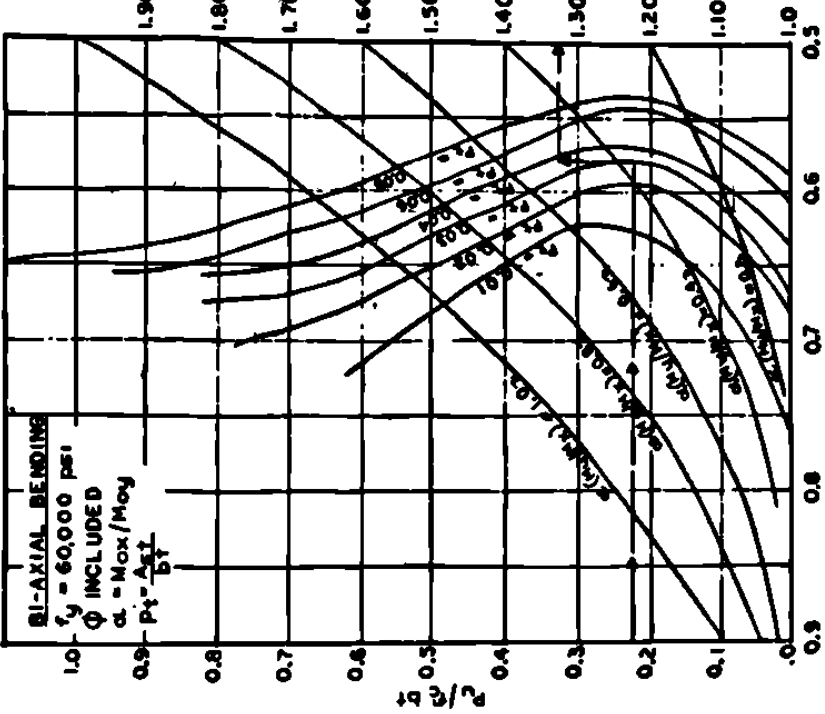


Fig. 2-13 Bi-axial Bending—Bars in 4 Faces

The abscissas,  $\beta$ , here and in Fig. 2-14 are identical.  $\beta$  values are shown for information only and are not employed in using Figs. 2-13 and 2-14. ( $\beta$  is the ordinate to curves in Fig. 2-13.) See page 2-33 for mathematical derivation.

$\rho =$	$M_s = 10^{-3} x$ tabulated factor		$M_t = 10^{-3} x$ tabulated factor	
	INTERIOR COLUMNS	EXTERIOR COLUMNS	INTERIOR COLUMNS	EXTERIOR COLUMNS
	$f'_e = 5,000$	$f'_e = 6,000$	$f'_e = 5,000$	$f'_e = 6,000$
0.005	4.13	4.56	4.96	5.10
0.01	4.37	4.78	5.15	5.28
0.02	4.86	5.21	5.55	5.64
0.03	5.31	5.65	5.95	6.01
0.04	5.83	6.08	6.34	6.37
0.05	6.31	6.51	6.71	6.74
0.06	6.80	6.95	7.14	7.14
0.07	7.28	7.38	7.53	7.53
0.08	7.79	7.81	7.93	7.93

Table 2-3 One-Step Combined Strength-Slenderness Design Factors  $M_s$  and  $M_t$

Example 5. (Continued)

Interior Column:  $e = 1.6''$

$$\beta = \frac{1}{1 - 0.00364(36)} = 1.15 \text{ vs. } 1.10 \text{ from Ex. 3 corrected for } \rho = 145. \text{ See Table 2-2.}$$

$$e = (1.15)(0.10)(16) = 1.84''$$

See page 3-65. For 16 x 16, 6-#6, read (MA)  $P_u = 552k > (MI) P_u = 542k > (2)(230)$ . Use  $\rho \geq 0.005$  (ACI 10.8.4). Final design: 16" x 16"; 4-#6.

With  $P_s/f_y/\delta = 0.19$ , proceed horizontally in Fig. 2-14 to curve  $P_t = 0.02$ , then vertically to  $M_x/M_{ox} = 0.53$ , read  $M_{ox}/M_x = 1.34$  at right ordinate. Hence, uniaxial design moment to supply biaxial bending resistance

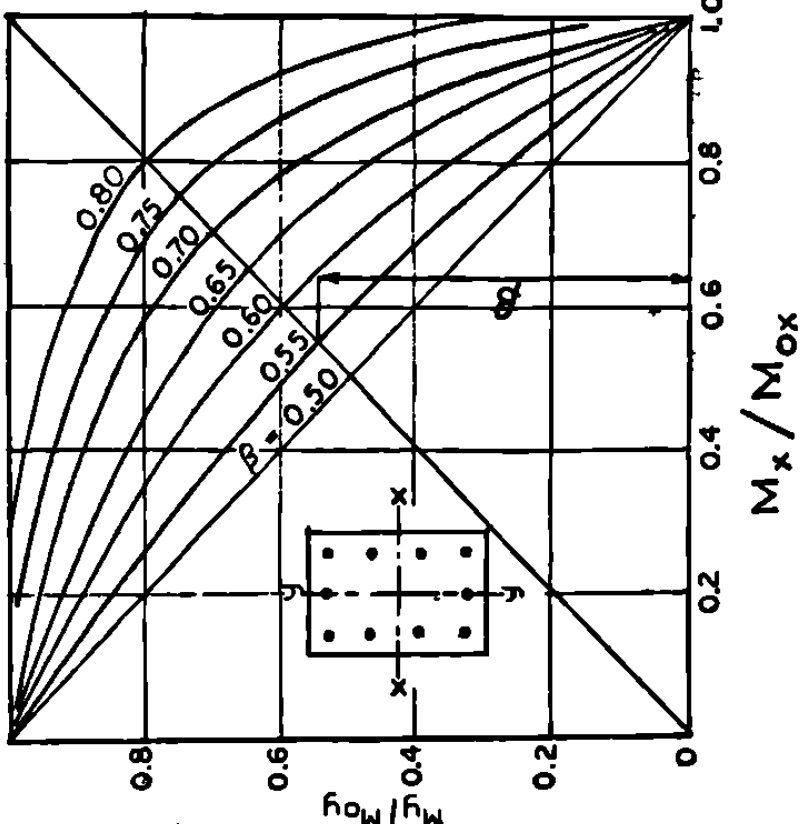
$$M_{ox} = 134 \times 1.34 = 180 \text{ ft.-kips}$$

$$M_x/P_s = \frac{(180)(12)}{196} = 11.00 \text{ inches}$$

From table page 3-20 with  $e = 11.0$  in., interpolate for solution  
Use: 4-#10 bars;  $P_s = 203$  kips;  $P_t = 0.0198$   
By use of the linear variation of biaxial bending given by the formula:

$$\frac{M_x}{M_{ox}} + \frac{M_y}{M_{oy}} = 1; M_{ox} = M_{oy} = 134 + 71 = 205 \text{ ft.-kips}$$

For  $P_s = 196$  k and  $e_y = e_p = \frac{205 \times 12}{196} = 12.5$  in.; interpolate from table 3-20,  $P_s = 199$  k for  $\beta = .79$ , which amounts to about 50 per cent more reinforcement than required by the more accurate solution.



$$\left(\frac{M_x}{M_{ox}}\right)^n + \left(\frac{M_y}{M_{oy}}\right)^n = 1, \quad n = \frac{\log 0.5}{\log \beta}$$

Fig. 2-15 Bi-axial Bending Basic Relationships—Equation (2-1)

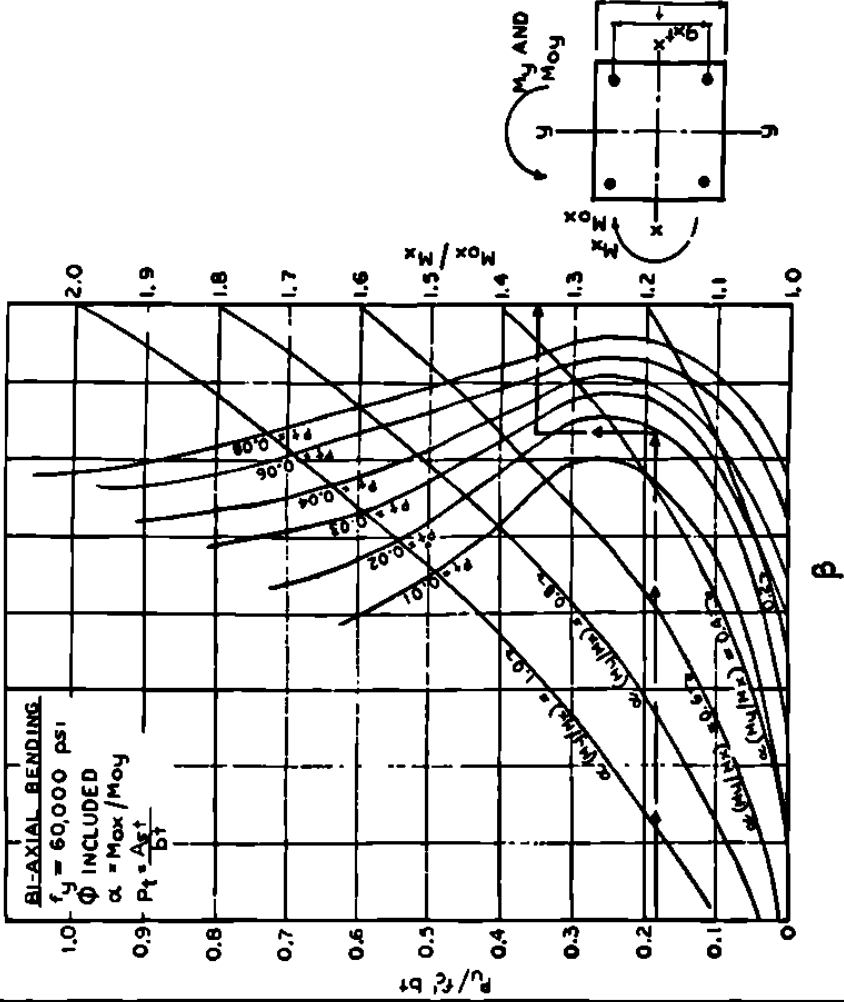


Fig. 2-14 Bi-axial Bending—4 Bars

#### Examples Using Charts (Figs. 2-13 and 2-14)

To illustrate the simplicity with which the biaxial bending capacity of a column can be obtained, three examples are presented in detail.

##### Example 1—Square Column

Given:

$$f'_y = 4,000 \text{ psi}$$

$$f'_s = 60,000 \text{ psi}$$

$$P_s = 196 \text{ kips}$$

$$M_x = 134 \text{ ft.-kips}$$

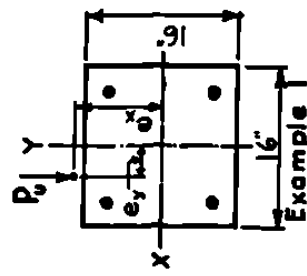
$$M_y = 71 \text{ ft.-kips}$$

Desired column size  $16'' \times 16''$ ; 4 bars  
To find area of steel required for biaxial bending

Solution:  
Assume initially  $P_t = 0.02$        $\alpha = M_{ox}/M_{oy} = 1.0$   
Compute

$$\alpha = \frac{M_x}{M_{oy}} = \frac{71}{134} = 0.53$$

$$P_s/f'_s M = \frac{196}{(4)(16 \times 16)} = 0.19$$





$M_x$  = applied moment about the  $x$  axis at  $P_u$   
 $M_y$  = applied moment about the  $y$  axis at  $P_u$   
 $M_{ax}$  = uniaxial moment capacity about  $x$  axis at  $P_u$   
 $M_{ay}$  = uniaxial moment capacity about  $y$  axis at  $P_u$   
 $n$  = exponent dependent on bar arrangement,  $f_s, p_s, f'_s$ , axial load and  $g$ .

It is apparent that when  $n = 1$ ,  $M_x/M_{ax}$  varies linearly with respect to  $M_y/M_{ay}$ , as shown in Fig. 2-15. This response is correct for a homogeneous material behaving elastically. However, for reinforced concrete, due to the effect of cracking and inelastic response,  $n$  is always greater than 1. The relationship implied by equation (2-1) yields a series of curves sometimes labelled as sub- or superellipses as can be seen in Fig. 2-15.

For the purpose of design, it is more convenient to restate equation (2-1) as:

$$\left(\frac{M_x}{M_{ax}}\right)^n + \left(\frac{M_y}{M_x} \cdot \frac{M_x}{M_{ax}} \cdot \frac{M_{ay}}{M_{ax}}\right)^n = 1. \quad \dots \quad (2-2a)$$

Factoring and letting  $M_{ax}/M_{ay} = \alpha$  we have

$$\left(\frac{M_x}{M_{ax}}\right)^n \left[ 1 + \left( \alpha \frac{M_y}{M_x} \right)^n \right] = 1. \quad \dots \quad (2-2b)$$

which on transposing yields

$$\frac{M_{ax}}{M_x} = \left[ 1 + \left( \alpha \frac{M_y}{M_x} \right)^n \right]^{1/n}. \quad \dots \quad (2-2c)$$

It should be noted that the value of  $M_{ax}/M_x$  is expressed as the function of two variables  $\left( \alpha \frac{M_y}{M_x} \right)$  and  $n$ . The value,  $M_y/M_x$ , is a given quantity. For a square section, with symmetrical reinforcement  $\alpha = 1.0$ . For rectangular sections, with reinforcement symmetrical about the bending axis, the value of  $\alpha$  is closely approximated by the formula:

$$\alpha = \frac{M_{ax}}{M_{ay}} = \frac{1 - .7(1 - r_1)\sqrt{q}(1 + g_1)h_2}{[1 - .7(1 - r_2)\sqrt{q}(1 + g_2)h_2]} \quad \dots \quad (2-3)$$

in which:

$$q = \frac{A_s f_y}{b f'_s} = p_s \frac{f_y}{f'_s}$$

$r_1$  = ratio of steel area in furthermost rows from  $x$  axis to total steel area  
 $r_2$  = ratio of steel area in outermost rows from  $y$  axis to total steel area

$h_1$  and  $h_2$  = height of member about  $x$  and  $y$  axis respectively  
 $g_1$  and  $g_2$  = ratio of distance between outermost rows to total height about  $x$  and  $y$  axis

For the average condition, it will be found that  $\alpha = h_1/h_2$ .

With the value of  $n$  known, it is apparent that a series of curves can be plotted relating  $M_{ax}/M_x$  to  $\alpha(M_y/M_x)$ . Although as previously stated,  $n$  is a function of six variables, through extensive computer calculations, it was found that  $n$  is affected primarily by four variables,  $P_u/f'_s b t, f_s, p_s$  and bar

arrangement, with the two other variables having a negligible effect. Consequently, this made it possible to express the behaviour of biaxial bending in Figs. 2-13 and 2-14, with the results having an accuracy of about 4 per cent. The value of  $n$  for any specific cross section can be obtained by calculation of the values of  $M_{ax}, M_{ay}$  and  $M_x$  associated with  $M_y$ , using the general assumptions for design in the Code (ACI 10.3). From a computational point of view, it was more meaningful and expedient to relate  $n$  to a new variable. Let  $\beta = M_x/M_{ax}$  when  $M_x/M_{ax} = M_y/M_{ay}$ , then equation (2-1) becomes:

$$\begin{aligned} 2\beta &= 1 \\ \beta^n &= 0.5 \\ n \log \beta &= \log 0.5 \\ n &= \log 0.5 / \log \beta \end{aligned}$$

It should be recognized that  $\beta$  is the ordinate to curves at the intersection of the diagonal and the curves in the sketch. While it may be of some interest to know the value of  $\beta$ , to avoid superfluous notation, its value is not shown in Fig. 2-13 and Fig. 2-14. Each of these figures represents the superposition of two graphs having identical abscissas. The first chart yields the value of  $\beta$  as abscissa with  $P_u/f'_s b t$  as ordinate for various values of  $p_s$ . The second chart gives the value of  $M_{ay}/M_x$  as ordinate, for various values of  $\alpha(M_y/M_x)$  with  $\beta$  as abscissa. For design, as shown in Fig. 2-13, enter the chart with a specified value,  $P_u/f'_s b t$ , horizontally to an assumed value of  $p_s$ . From this intersection, proceed vertically to the proper  $\alpha(M_y/M_x)$  curve. The value of  $M_{ax}/M_x$  is read at the right ordinate. Since  $M_x$  is a specified value,  $M_{ax}$  is easily calculated.

With  $M_{ax}$  known, the designer must determine the percentage of reinforcement from uniaxial column charts. This must be followed by a check that the required  $p_s$  agrees with the assumed  $p_s$ . Load capacity tables for columns under combined bending and axial loads are generally restricted to the case of steel at top and bottom only or uniformly spaced about the periphery. With other bar arrangements, a designer should interpolate between the two sets of values. If the data is restricted to solely the capacity of columns with steel at top and bottom, the capacity for other distribution of reinforcement can be closely approximated by the formula:

$$M_s = [1 - 0.7(1 - n)\sqrt{q}M_{ax}]^{\beta} \quad \dots \quad (2-4)$$

where  $M_{ax}$  is the moment capacity of the section with the steel confined to a top and bottom row.

SQUARE TIED COLUMNS 10" × 10"		0.10 $f'_c A_g$ = 40 kips (2)											
Short columns; no sidesway (1) Bars symmetrical in 4 faces		For $P_u$ at (2)											
		For $P_u$ at (3)											
Bars	Grade 60												
Concrete $f'_c$ = 4,000 psi	Bars Grade 60												
		$P_u$ (kips) — Ultimate Usable Capacity											
		$M_u/P_u = \bullet$ (in.)      ( $\phi = 0.70$ )											
		$M_u/P_u = \bullet$ (in.)      ( $\phi = 0.70$ )											
		OT (3)      Balance											
		40 k (2) O (2)											
		Concrete $f'_c$ = 4,000 psi											
		Bare % P											
		Bare % P											
		Bare % P											
		Bare % P											
		Bare % P											
		Bare % P											
		Bare % P											
		Bare % P											
		Bare % P											
		Bare % P											
		Bare % P											
		Bare % P											
		Bare % P											
		Bare % P											
		Bare % P											
		Bare % P											
		Bare % P											
		Bare % P											
		Bare % P											
		Bare % P											
		Bare % P											
		Bare % P											
		Bare % P											
		Bare % P											
		Bare % P											
		Bare % P											
		Bare % P											
		Bare % P											
		Bare % P											
		Bare % P											
		Bare % P											
		Bare % P											
		Bare % P											
		Bare % P											
		Bare % P											
		Bare % P											
		Bare % P											
		Bare % P											
		Bare % P											
		Bare % P											
		Bare % P											
		Bare % P											
		Bare % P											
		Bare % P											
		Bare % P											
		Bare % P											
		Bare % P											
		Bare % P											
		Bare % P											
		Bare % P											
		Bare % P											
		Bare % P											
		Bare % P											
		Bare % P											
		Bare % P											
		Bare % P											
		Bare % P											
		Bare % P											
		Bare % P											
		Bare % P											
		Bare % P											
		Bare % P											
		Bare % P											
		Bare % P											
		Bare % P											
		Bare % P											
		Bare % P											
		B											

## **RESUMEN AUTOBIOGRAFICO**

**JUAN PABLO NAVARRO MATA**

**Candidato para el Grado de  
Maestro en Ciencias con Especialidad en  
Ingeniería Estructural**



**Tesis: SOLUCIÓN ANALÍTICA DEL MODELO MATEMÁTICO DE COLUMNAS CON SECCIONES GEOMÉTRICAS ARBITRARIAS SOMETIDAS A LA COMBINACIÓN DE FLEXIÓN BIAXIAL Y CARGA AXIAL**

**Campo de Estudio: Ingeniería Estructural**

**Biografía:**

**Datos personales:** Nace en Monterrey, Nuevo León el 25 de Septiembre de 1967, hijo de José Navarro Moya y María del Carmen Mata Molina.

**Educación:** Egresado de la Universidad Autónoma de Nuevo León, con la Licenciatura de Ingeniería Civil en 1991, obteniendo el premio a la Mejor Tesis de Licenciatura en el área de Ciencias y Tecnología otorgado por la UANL; premio a la investigación en Ingeniería, otorgado por CEMEX y premio Especial CEMEX 1993.

**Experiencia Profesional:** Supervisión de Obra Civil de 1989 a 1993, Diseño Estructural en el Departamento de Estructuras, Instituto de Ingeniería de 1993 – 1996. Investigación en el área de Ingeniería Estructural y Desarrollo de Modelos Académicos 1994-1998. Desde 1994 imparte materias de Estática, Física para Ingenieros, Mecánica de Materiales y Análisis Estructural en la Facultad de Ingeniería Civil, UANL.

